

طراحی چیدمان بهینه تراسترهای کنترل وضعیت ماهواره مخابراتی در مدار زمین آهنگ

امیررضا کوثری^{۱*}، سمانه کویری^۲، بهزاد مشیری^۳، مهدی فکور^۴

۱- استادیار مهندسی هوافضا، دانشگاه تهران، تهران

۲- دانشجوی کارشناسی ارشد مهندسی مکاتونیک، دانشگاه تهران، تهران

۳- استاد مهندسی برق، دانشگاه تهران، تهران

۴- استادیار مهندسی هوافضا، دانشگاه تهران، تهران

* تهران، صندوق پستی ۱۴۳۹۹-۵۵۹۴۱ kosari_a@ut.ac.ir

چکیده- در این مقاله روشی نوین برای طراحی چیدمان بهینه تراسترهای مخابراتی زمین آهنگ با هدف کمینه کردن مصرف سوخت و افزایش دقت کنترل وضعیت ارائه می‌شود. کاهش مصرف سوخت موجب افزایش طول عمر ماهواره در مدار زمین آهنگ شده و افزایش دقت کنترل منجر به بهبود نشانه روی آتن‌های محموله می‌شود. برای دست‌یابی به الگوی چیدمان بهینه، دو الگوریتم ژنتیک و تکامل دیفرانسیلی مورد بررسی و پیاده‌سازی قرار گرفته است. علاوه بر این در این مقاله قیودی از قبیل محدودیت هندسی در ابعاد ماهواره و محدود کردن پاشش گازهای خارج شده از تراسترهای ماهواره بر روی پنل‌های خورشیدی و تجهیزات بیرونی ماهواره در نظر گرفته شده است. نتایج شبیه‌سازی‌های انجام شده، مؤید این نکته است که الگوریتم تکامل دیفرانسیلی دقت بهتر و زمان اجرای کمتری در مقایسه با الگوریتم ژنتیک در حل این مسئله دارد.

کلیدواژگان: چیدمان بهینه تراستر، مصرف سوخت، ماهواره زمین آهنگ، کنترل وضعیت، مدیریت کنترل.

Design of optimal thruster configuration for attitude control of geostationary satellite

A. Kosari^{1*}, S. Kaviri², B. Moshiri³, M. Fakoor⁴

1- Assist. Prof., Aero. Eng., Tehran Univ., Tehran, Iran.

2- MSc. Student, Aero. Eng., Tehran Univ., Tehran, Iran.

3- Prof., Electrical. Eng., Tehran Univ., Tehran, IraNo.

4- Assist. Prof., Mech. Eng., Tehran Univ., Tehran, Iran.

* P.O.B. 14399-55941 Tehran, Iran. kosari_a@ut.ac.ir

Abstract: This paper presents a new methodology to design optimal thrusters configuration for geostationary communications satellite in order to reduce the mission fuel consumption and increase the system control accuracy. The fuel consumption has an inverse relationship with the satellite lifetime and it is obvious that increasing the control accuracy may lead to have better payload antenna pointing. The proposed configuration, however, should lead to fulfill specified attitude maneuver when the set of force and torque produced by satellite thruster system is adequate. For this purpose, two optimization methods using genetic algorithm (GA) and differential evolution (DE) has been applied to determine the optimal thrusters configuration for a communication satellite. The cost function was employed in such a way to minimize both the fuel consumption and error generated by thrusters installation and uncertainties. Moreover, this work allows applying some different constraints in the proposed formulation including minimization of the thruster plume impingement effect on the solar arrays and the second one is the satellite dimension and geometry. Simulation results show that DE method outperforms GA method in terms of accuracy and CPU time. Effectiveness of differential evolution algorithm is illustrated in the paper when compared with GA method results.

Keywords: Optimal Thruster Configuration, Optimal Fuel Consumption, Geostationary Satellite, Attitude Control, Control Allocation.

تعداد تراستر که این شرایط را ارضاء می‌کند، مشخص می‌شود. در مرجع [۷] طراحی چیدمان تراسترهای کنترل و راه حلی برای مسأله مدیریت کنترل^۱، برای یک زیردریایی انجام شده است. پیکربندی مناسب تراسترهای کنترل، نیاز به ولتاژ ورودی جهت فعال‌سازی تراسترهای کنترل را کاهش داده و منجر به کاربری بهتر تراسترهای کنترل شده است.

در مرجع [۸] از کنترل کننده خطی برای کنترل وضعیت ماهواره استفاده شده است. این کنترل کننده با هدف، مقایسه و تحلیل چیدمان‌های متفاوت تراسترهای ماهواره طراحی و پیاده‌سازی شده است. این ماهواره دارای یک چرخ عکس‌العملی برای کنترل حرکت پیچشی^۲، نه عدد تراستر برای انجام مانور مداری و کنترل وضعیت است. در مرجع [۹] علاوه بر کاهش تعداد تراسترهای کنترل ماهواره در زمان‌هایی است که یک تراستر که لحاظ شده کنترل ماهواره در زمان‌هایی است که یک تراستر از حالت عادی خارج شده باشد و گشتاوری تولید نکند.

در سال ۱۹۶۹ کاروفورد شرایط لازم و کافی برای این که چیدمان تراسترهای توانایی لازم برای کنترل ماهواره را داشته باشد، در نظر گرفت. البته الگوریتمی که بدست آمده بهینه نبود. سایر تحقیقات پس از آن نیز کامل نبود زیرا برای تراسترهای محدوده نیروی پیشران در نظر گرفته نشده است. روشنی که در سال ۲۰۱۰ برای تعیین چیدمان بهینه معرفی شده است، "قابلیت کنترل" را تعریف نموده و فاکتورهای مؤثر مثل محدوده نیروی پیشران در آن لحاظ شده است و به وسیله محاسبه قابلیت کنترل هر چیدمان، به مقایسه و تحلیل آن‌ها می‌پردازد. این مطالعه روشنی جدید برای تحلیل قابلیت کنترل چیدمان تراستر پیچیده را ممکن می‌کند و این تحقیق نزدیکترین ایده به مطالعه انجام شده در این مقاله می‌باشد. این روش برای کاربردهایی که از قابلیت کنترل چیدمان‌های مختلف تراسترهای کنترل و دستیابی به چیدمان بهینه تراسترهای برخوردار هستند، مفید است [۱۰، ۵].

سیستم‌های فضایی از قبیل ماهواره و فضایپیما دارای شش درجه آزادی هستند که سه درجه از آن مربوط به حرکت انتقالی مرکز جرم در طول مسیر و سه درجه مربوط به وضعیت جهت‌گیری آن است. به سیستمی که دارای تعداد بیشتری

۱- مقدمه

مداری که بیشترین استفاده را برای ماهواره‌های مخباراتی دارد مدار زمین آهنگ است. ماهواره در این مدار می‌تواند تقریباً ۴۲ درصد سطح زمین را تحت پوشش قرار دهد. بطور کلی دو رویکرد اساسی برای مسأله مدیریت کنترل تراسترهای ماهواره وجود دارد. در رویکرد اول تراسترهای ثابت در نظر گرفته شده و تمامی ترکیب‌های ممکن از تراسترهای کنترل در جدولی ثبت شده است و مستقیماً طی مانورهای از پیش تعریف شده در مدهای کنترلی ماهواره بکار گرفته می‌شوند. در مرجع ۱ اشاره شده است که سیستم کنترلی بسیاری از ماهواره‌های زمین آهنگ در طول سال‌های ۱۹۶۰ تا ۱۹۸۰ بر پایه این رویکرد ساده بوده است که به محاسبات کمتری نیز نیاز دارد. البته موقیت در استفاده از این رویکرد بستگی به بسیاری از ملاحظات مهندسی دارد که در هر فضایپیما و ماهواره، مختص به ماموریت و مشخصات آن است [۵-۱]. در پژوهه انجام شده در سال ۲۰۰۶، کنترل وضعیت یک ماهواره زمین آهنگ به وسیله تراسترهای بر اساس این رویکرد بوده است. این ماهواره زمین آهنگ دارای شش تراستر پایه و شش تراستر اضافی است که از آنها به روش گروه‌بندی استفاده شده است. این روش که تراسترهای مختلف را به صورت یک عملگر در نظر می‌گیرد، یک روش متداول برای کنترل تراسترهای متفاوت و در عمل از آن استفاده می‌شود. البته، اگر تراسترهای متفاوت به صورت یک گروه در نظر گرفته شوند، همیشه به صورت همزمان روش خواهند شد و این کار ممکن است در برخی شرایط مناسب نباشد. برخی تحقیقات تنها بر روی استفاده از تراسترهای کنترل وضعیت کار کرده‌اند و تراسترهای اضافی را مد نظر قرار نداده‌اند. از آنجا که تراسترهای اضافی عموماً برای کنترل وضعیت با قابلیت اطمینان بالاتر استفاده می‌شود، اگر تراستر اضافی به صورت مناسب نصب و استفاده شود، موجب عملکرد بهتر می‌شود [۳]. در رویکرد دوم مدیریت کنترل تراسترهای در مرحله طراحی بر اساس تغییر چیدمان تراسترهای بوده است. در این رویکرد با توجه به هدف مورد نظر، مکان تراسترهای تعداد آن‌ها و سایر پارامترها تغییر داده می‌شوند. در مرجع [۶] براساس رویکرد دوم از تراستر برای کنترل همزمان وضعیت و موقعیت ماهواره استفاده شده است. در این راستا برای رسیدن به یک چیدمان بهینه، شرایط لازم و کافی تعیین شده است، سپس کمترین

1. Control Allocation
2. Pitch

در این مقاله در ابتدا به بیان معادلات دینامیک و سینماتیک ماهواره پرداخته شده و کنترل وضعیت ماهواره شرح داده شده است. سپس در مورد معادلات حاکم بر تراستر و گشتاور حاصل از تراستر بیان شده است. در بخش سوم الگوریتم‌های مدیریت کنترل توضیح داده شده است. در بخش بعد چیدمان تراسترهای شرح داده شده است. سپس نتایج و جمع بندی ارائه شده است.

۲- دینامیک و سینماتیک ماهواره

مدل دینامیکی ماهواره شامل گشتاور تغییرات ممان زاویه‌ای بر اساس گشتاور اعمالی به آن می‌باشد. در رابطه (۱) و (۲) این معادلات نمایش داد شده است.

$$T^B = \dot{h}_I = \dot{h}_{BI}^B + \omega_{BI}^B \times h_{BI}^B \quad (1)$$

$$T^B = \begin{bmatrix} T_x \\ T_y \\ T_z \end{bmatrix} = T_d^B + T_c^B = T_g^B + T_{sp}^B + T_a^B \quad (2)$$

به صورتی که \dot{h} مومنتم زاویه‌ای، I ممان اینرسی ماهواره و ω_{BI}^B سرعت زاویه‌ای بین دستگاه بدنی با دستگاه اینرسی است که در دستگاه بدنی نشان داده شده است. T_B کل گشتاور اعمال شده به ماهواره می‌باشد.

در این مقاله، تمرکز ما بر روی بخش کنترل و عملگرها می‌باشد و در نتیجه فرض می‌شود که موقعیت و وضعیت مطلوب ماهواره کاملاً شناخته شده است و دینامیک وضعیت ماهواره و سیستم کنترل کننده به عنوان ورودی می‌باشند. وضعیت ماهواره زمین آهنگ می‌باشد در زمان‌های مشخصی تصحیح شود تا اثر گشتاورهای اغتشاشی که به آن وارد می‌شود را جبران کند و ماهواره در وضعیت مطلوب باقی بماند. همچنین وضعیت ماهواره باید به نحوی باشد که ارسال امواج به آنتن گیرنده به درستی صورت گیرد و محور یا ماهواره با دقیقت تأثیرگذار بر وضعیت ماهواره شامل گشتاورهای گرadiان گرانش، میدان مغناطیسی، تشعشعات خورشیدی و اتمسفر است. در این مطالعه گشتاور گرانشی و گشتاور ناشی از تشعشعات خورشیدی در نظر گرفته شده است که در مرجع ۱۸ معادلات مربوط به آن بیان شده است.

۱- کنترل وضعیت ماهواره

زیرسیستم کنترل وضعیت برای جبران اغتشاشاتی که ممکن

وروردي نسبت به تعداد متغیرهای مسئله^۱ باشد، سیستم افزونه^۲ می‌گویند [۱۱]. در ماهواره معمولاً تعداد عملگرها (چرخ عکس العملی و تراستر) بیشتر از تعداد درجات آزادی سیستم کنترل ماهواره است. افزونگی عملگرها ماهواره موجب می‌شود تا تعداد پاسخهای محدودی وجود داشته باشد که هدف مورد نظر را ارضا می‌نماید. در نتیجه می‌توان هدف دومی را در نظر گرفت و با بهینه‌سازی هدف دوم یکی از پاسخهای بدست آمده را به عنوان جواب مسئله مدیریت کنترل مدل نظر قرار داد. بیش از یک دهه است که مسئله مدیریت کنترل به عنوان یک مسئله بهینه‌سازی مطرح شده است و در اکثر مراجع برای حل مسئله مدیریت کنترل، رابطه خطی میان سیگنال کنترلی و ورودی‌های بلوک مدیریت کنترل در نظر گرفته شده است. در مرجع [۱۳، ۱۲] پیچیدگی محاسباتی الگوریتم‌های مدیریت کنترل مقایسه شده است. حل مسائل بهینه‌سازی مقید^۳ به وسیله الگوریتم‌های تکراری بسیار مشکل است و برای نرخ نمونه‌برداری بالا و فرایندهای برخط^۴ قابل استفاده نیست. در سال‌های اخیر مسائل مدیریت کنترل به شدت مورد مطالعه قرار گرفته‌اند و روش‌های مختلفی برای حل آنها بکار رفته است که می‌توان به روش شبے معکوس^۵ [۱۴]، برنامه‌ریزی خطی^۶ [۱۲]، مدیریت کنترل مستقیم^۷ [۱۵] و روش برنامه‌ریزی مربعی^۸ [۱۷، ۱۶] اشاره کرد. در این مقاله از روش شبے معکوس استفاده شده است و تمرکز روی چیدمان تراسترهای است. بکارگیری تراسترهای تابعی از محل نصب و زاویه آن‌ها نسبت به بدن ماهواره است. برای کنترل وضعیت و موقعیت به مقادیر متفاوتی از گشتاور و نیرو در راستاهای مختلف محورهای مختصات نیاز است. موقعیت قرارگیری تراسترهای همچنین تحت تأثیر محل آرایه‌های خورشیدی و سنسورها می‌باشد تا جریان گازهای خارج شده از تراستر آسیبی به سایر قسمت‌ها وارد نکند [۱۸]. از این‌رو در این تحقیق سعی بر آن بوده است تا با توجه به موارد یاد شده با استفاده از الگوریتم‌ها بهینه سازی چیدمان بهینه تراسترهای را برای ماهواره زمین آهنگ مشخص شود.

1. Manipulating Variable
2. Over-Actuated
3. Constraint Optimization Problem
4. Real Time
5. Pseudo- Inverse
6. Linear Programming
7. Quadratic Programming

رابطه (۴) بیانگر مقدار گشتاور هر تراستر حول مرکز جرم ماهواره است.

$$\mathbf{r} = i r_x + j r_y + k r_z \quad (3)$$

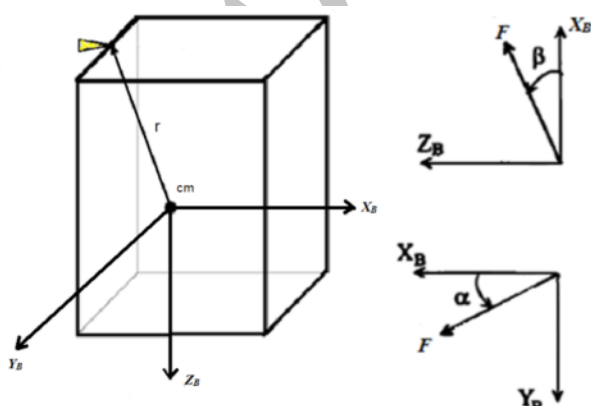
$$\begin{aligned} \mathbf{M} &= \begin{bmatrix} M_x \\ M_y \\ M_z \end{bmatrix} = \begin{bmatrix} r_y \sin \beta \cos \alpha - r_z \sin \alpha \\ r_z \cos \alpha \cos \beta - r_x \cos \alpha \sin \beta \\ r_x \sin \alpha - r_y \cos \alpha \cos \beta \end{bmatrix} F \\ &= \begin{bmatrix} \Delta x \\ \Delta y \\ \Delta z \end{bmatrix} F \end{aligned} \quad (4)$$

اگر n تراستر وجود داشته باشد، رابطه گشتاور و نیروی تراسترهای می‌توان بصورت رابطه (۵) نوشت.

$$\mathbf{M} = A\mathbf{F} \quad (5)$$

ماتریس چیدمان تراسترهای می‌شود. رابطه (۴) ماتریس چیدمان تراسترهای می‌شود و F برداری $n \times 1$ است که نیروی هر یک از تراسترهای را نشان می‌دهد، A یک ماتریس $3 \times n$ است و M گشتاور کنترلی تعیین شده توسط کنترلر است. هر ستون ماتریس A مربوط به یک تراستر می‌باشد که از رابطه (۴) جایگذاری می‌شود.

برای هر تراستر پنج پارامتر r_x, r_y, r_z, α و β جهت توصیف کلی بردار نیروی پیشran آن لازم است. β زاویه بردار نیروی پیشran با محور X_B در صفحه X_BZ_B و α زاویه بردار نیروی پیشran با محور X_B در صفحه X_BY_B می‌باشد که در شکل ۲ نشان داده شده است.



شکل ۲ نمایش زاویه α و β و بردار r

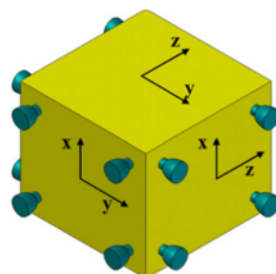
با توجه به ثابت بودن نیروی پیشran تراستر، کنترل خطی

است منجر به تغییر وضعیت ماهواره شود، بکار می‌رود. عملگرهای سیستم کنترل وضعیت می‌توانند تراسترهای چرخهای عکس‌العملی و چرخهای مومنتم باشند. در تحقیقاتی که تاکنون صورت گرفته است برخی از چیدمان‌ها شامل سه یا چهار چرخ عکس‌العملی با هدف کاهش مصرف انرژی و یا جهت‌گیری مطلوب مورد بررسی قرار گرفته است [۱۹]. اما میزان گشتاور که توسط چرخ عکس‌العملی و چرخهای مومنتم تولید می‌شود، کوچک است. این در حالی است که میزان گشتاور اغتشاشی ایجاد شده ممکن است بزرگ‌تر باشد. در نتیجه برای جبران آن بهتر است که از عملگرهایی با قدرت بالاتر استفاده شود. با توجه به گشتاور بالاتری که تراسترهای تولید می‌کنند، تصحیح سریع تر وضعیت را ممکن می‌سازند. این نکته قبل توجه است که تراسترهای عملگرهای غیرخطی بوده که به صورت پالسی عمل می‌کنند. در این تحقیق برای جبران گشتاورهای اغتشاشی وارد بر ماهواره از تراستر استفاده شده است. قابلیت کنترل چیدمان مختلف تراستر به وسیله دو فاکتور معین می‌شود:

- ۱) چیدمان هندسی تراسترهای
 - ۲) الگوریتم مدیریت کنترل برای سیستم تراستر
- در این مقاله توجه ما بر روی چیدمان هندسی تراسترهای است. به عنوان مثال در شکل ۱ چیدمان متقاضی ۱۲ تراستر روی ماهواره نشان داده شده است.

۲-۲- گشتاور سیستم تراسترهای

میزان گشتاوری که توسط یک تراستر می‌توان به ماهواره اعمال کرد، به اندازه نیروی پیشran تراستر و همچنین به طول بازوی تراستر حول محور مورد نظر بستگی دارد. مؤلفه‌های گشتاور که توسط تراستر در راستای هر یک از محورهای مختصات بدن ماهواره به آن وارد می‌شود، بصورت زیر می‌باشد.



شکل ۱ چیدمان ۱۲ تراستر روی ماهواره زمین آهنگ

خطی نبوده و بصورت روش- خاموش (مد پالسی) کار می‌کنند و نمی‌توانند مانند عملگرهای دیگر رابطه خطی بین ورودی و گشتاور خروجی داشته باشند. علاوه بر این ناحیه مرده تراسترهای باعث می‌شود که نتوان مقادیر ضربه کوچکتر از مینیمم ضربه تراسترهای را در خروجی از آن‌ها گرفت. لذا کنترل با تراسترهای ملاحظاتی دارد که آن را متفاوت از عملگرهای خطی نظری چرخهای عکس‌العملی می‌نماید. با توجه به عملکرد غیرخطی، این کنترلهای می‌توانند در یک مد شبه خطی با استفاده از تغییر پهنهای پالس^۱ متناسب با گشتاور مورد نیاز محاسبه شده (ورودی به کنترلر) عمل نمایند. این نوع عملکرد را اغلب مدل‌سیون پهنهای پالس می‌گویند [۱۸]. در این مقاله فرض شده است که مدل‌سیون با دقت مورد نیاز گشتاور را محاسبه می‌کند.

۳- الگوریتم‌های مدیریت کنترل

وظیفه اصلی در فرایند مدیریت کنترل تراستر تعیین تراسترهای مشخصی جهت انجام عملیات یا مانور وضعی و همچنین تعیین زمان روشن بودن آن‌ها بنحوی که نیرو و گشتاور تعیین شده از طرف سیستم کنترل وضعیت ماهواره تأمین شود. در نتیجه الگوریتم مدیریت کنترل تأثیر مستقیمی بر روی قابلیت کنترل تراسترهای دارد. عموماً مسئله مدیریت کنترل به وسیله رابطه (۵) فرموله می‌شود.

روش‌های متفاوتی برای حل مسئله مدیریت کنترل ارائه شده است که از آن‌ها می‌توان به مدیریت کنترل مستقیم، برنامه‌ریزی خطی، برنامه ریزی مربعی و روش شبه معکوس اشاره کرد. همان‌طور که در مقدمه ذکر شد در اینجا از شبه معکوس به عنوان راه حل استفاده شده است [۱۴].

به وسیله رابطه (۱۲) نیروی هر تراستر محاسبه شده است و از رابطه (۶) با توجه به پارامترهای هر تراستر زمان روشن بودن هر یک از تراسترهای و مصرف سوخت آن‌ها بدست می‌آید. مهم‌ترین مزیت این روش سادگی محاسبات آن می‌باشد و اگر روی متغیرهای مسئله مدیریت کنترل محدودیتی وجود نداشته باشد، جواب بهینه (بردار کنترلی بهینه) از این روش بدست می‌آید [۱۴، ۱۰]. در رابطه (۱۲) با توجه به این که ماتریس چیدمان A عموماً یک ماتریس غیر مربعی می‌باشد، شبه

در مورد تراسترهای امکان‌پذیر نبوده و باید در مدد پالسی آن‌ها را کنترل نمود. در این روش در هر نمونه‌برداری با توجه به گشتاور مورد نیاز که براساس اختلاف از وضعیت مطلوب محاسبه می‌شود و نظر به این که تراسترهای می‌توانند نیروی پیشران با دامنه ثابت و طول پالس متغیر تولید نمایند، طول پالس مورد نیاز در رابطه (۶) محاسبه شده است.

$$t_p = \frac{F_{\text{requiera}} t_{\text{sampling}}}{F_{\max}} \quad (6)$$

$$m_{\text{fuel}} = \dot{m} t_p \quad (7)$$

t_p طول بازه زمانی است که در آن تراستر روشن می‌باشد. زمان نمونه‌برداری با t_{sampling} نمایش داده شده است. با توجه به t_p و \dot{m} که دبی خروجی تراستر می‌باشد، می‌توان مصرف سوخت هر تراستر را در کل زمان روشن بودن محاسبه کرد. معیار دیگری که در مورد عملکرد سیستم تراستر تعریف می‌شود، مینیمم ضربه وارد نام دارد [۱۸]. فرض کنید تراستری نیروی F را با بازوی L به ماهواره وارد کند. با توجه به اینکه تراسترهای دارای مینیمم زمان پالس مشخصی هستند، مینیمم ضربه آن‌ها برابر با رابطه (۹) می‌باشد.

$$\Delta = \sqrt{\Delta x^2 + \Delta y^2 + \Delta z^2} \quad (8)$$

$$MTIB = F_{\max} \Delta t_{\min} \quad (9)$$

رابطه (۹) بیانگر این است که حداقل مقدار گشتاور قابل اعمال برابر با $MTIB$ است و اگر گشتاوری کمتر از این مقدار لازم باشد تراسترهای نمی‌توانند فعال شوند. با توجه به این موضوع حداقل خطای قابل دسترس برابر با مقدار بدست آمده از رابطه (۱۰) می‌باشد.

$$e_{\min} = \frac{MTIB}{t_{\text{sampling}} K} = \frac{F_{\max} \Delta t_{\min}}{t_{\text{sampling}} K} \quad (10)$$

K بهره ثابت است که بوسیله رابطه (۱۱) مشخص می‌شود که در آن J ممان اینرسی حول محور چرخش و ω_n فرکانس طبیعی سیستم می‌باشد.

$$K = \omega_n^2 J \quad (11)$$

با در نظر گرفتن این عیب موجود در سیستم تراسترهای باystsی مقدار حداقل خطای قابل دسترس تا حد امکان کاهش یابد. در این راستا برای افزایش دقت باystsی J را کاهش داد [۱۸].

نکته‌ای که وجود دارد این است که تراسترهای عملگرهای

1. Pulse Width Modulation (PWM)

کنترل و بصورت پیاده‌سازی روش‌های کنترل بهینه بوده است [۳-۱]. در این مطالعه با استفاده از الگوریتم‌های بهینه‌سازی در فاز طراحی ماهواره با توجه به محدودیت‌ها، قیود و محل نصب اجزای خارجی ماهواره چیدمان بهینه برای مانورهای وضعیت ماهواره تعیین شده است لذا در این بخش در مورد روش‌های بهینه‌سازی استفاده شده در این مطالعه توضیح داده شده است.

۴-۱- الگوریتم تکامل دیفرانسیلی

تکاملی تفاضلی توسط استورن و برایس در سال ۱۹۹۷ ایجاد شده است. الگوریتم تکاملی بر پایه بردار می‌باشد و می‌تواند به عنوان الگوریتم توسعه یافته برای الگوریتم‌های ژنتیک در نظر گرفته شود [۲۰]. روش تکامل دیفرانسیلی، نوعی روش جستجوی مستقیم موازی می‌باشد که N_p بردار پارامتر دارد که در معادله (۱۴) نمایش داده شده است.

$$X_{i,G} \quad i = 0, 1, 2, \dots, N_p - 1 \quad (14)$$

در تکرار G ام، N_p ثابت می‌باشد. اگر هیچ‌گونه اطلاعاتی راجع به مکان نقطه مینیمم در دسترس نباشد، آنگاه جمعیت اولیه بصورت تصادفی با توزیع یکنواخت انتخاب می‌شود. ایده اصلی روش این است که باید یک سری بردارهای پارامتر تولید شود. در تکامل دیفرانسیلی بردارهای پارامتر جدید برابر جمع بردار یک عضو از جمعیت با یک اختلاف وزنده میان دو بردار دو عضو دیگری از جمعیت می‌باشد. اگر بردار منتجه دارای مقدار تابع هدف کوچکتر از یک عضو از پیش تعیین شده باشد، آنگاه بردار جدید جایگزین می‌گردد. به علاوه مقدار تابع هدف بهترین بردار پارامتر، $X_{best,G}$ در هر تکرار بدست می‌آید تا دیدی از فرآیند بهینه‌سازی بدست آید. دو استراتژی متفاوت که معمولاً در تکامل دیفرانسیلی استفاده می‌شوند در مرجع ۲۰ آمده است. در این مقاله از استراتژی دوم استفاده شده است.

۴-۲- الگوریتم ژنتیک

الگوریتم ژنتیک یک روش بهینه‌سازی قدرتمند براساس اصول انتخاب به صورت طبیعی و ژنتیکی می‌باشد. هولاند^۱ در سال ۱۹۷۵ اولین کسی بود که از تقاطع، ترکیب، جهش و انتخاب برای مطالعه سیستم‌های مصنوعی و تطبیقی استفاده نمود. این عملگرهای ژنتیک بخش اساسی الگوریتم ژنتیک را برای حل

معکوس ماتریس A جایگزین معکوس آن شده است.

$$F = A^*M = A^T(AA^T)^{-1}M \quad (12)$$

در این مسئله برای تعیین نیروی هر تراستر محدودیت‌های

وجود دارد که ناشی از عوامل زیر می‌باشد:

- با توجه به این که تراسترهای یک طرفه هستند باید $F_i > 0$ باشد. به این معنی که با توجه به این که تراسترهای انتخاب شده تنها در یک راستا نیرو تولید می‌کنند، می‌بایست معیاری برای مدل‌سازی عددی آن در نظر گرفت. تراستر در جهت خلاف گازهای خارج شده از آن نیرو بر بدن ماهواره وارد می‌کند.

- تراسترهای روی صفحات هم‌راستا به صورت یک جفت عمل می‌کنند، به عبارت دیگر یک چیدمان متقاضان در نظر گرفته شده است و الگوریتم مدیریت کنترل لزوماً بهینه نیست.

- موقعیت و جهت‌گیری تراسترهای با توجه به چیدمان سایر اجزا (آرایه‌های خورشیدی، حسگرها و آنتن) محدودیت‌هایی دارد که به عنوان ورودی مسئله در نظر گرفته شده است.

در نتیجه محدودیت را بصورت رابطه (۱۳) می‌توان نوشت.

$$u_i^- \leq u_i \leq u_i^+ \quad i = \{1, 2, \dots, n\} \quad (13)$$

n تعداد تراسترهای u_i^+ مرز بالای نیروی پیشran و u_i^- مرز پایین نیروی پیشran می‌باشد. مقدار u_i^+ و u_i^- برای هر تراستر با توجه به مشخصات آن تعیین می‌شود. در این حالت ممکن است برخی از مقادیر بدست آمده از روش شبه معکوس، از مقدار مجاز خود تجاوز نمایند. برای رسیدن به جواب مناسب بایستی به نحوی محدودیت‌ها لحاظ شوند. در اینجا با توجه به چیدمان متقاضان تراسترهای، الگوریتمی ارائه شده است تا مقادیر منفی نیروی پیشran را توسط تراسترهای دیگر تأمین نماید و مقادیری که از مقدار بیشینه نگه دارد. این روش در مقایسه با سایر الگوریتم‌های مدیریت کنترل سریع و ساده می‌باشد و در بعضی موارد به جواب بهینه می‌رسد [۱۴].

۴- الگوریتم‌های بهینه‌سازی استفاده شده

تاکنون روش‌های بکار گرفته شده برای طراحی چیدمان تراسترهای بصورت تجربی و با در نظر گرفتن تراسترهای اضافی بوده است. استفاده از روش‌های بهینه‌سازی بیشتر در قسمت

1. Holland

$$Error = M - T_a \quad (15)$$

۲. حداقل خطای قابل دسترس تراستر

$$e_{\min} = \frac{MITB}{t_{\text{sampling}} K} = \frac{F_{\max} \Delta t_{\min}}{t_{\text{sampling}} K} \quad (16)$$

۳. مصرف سوخت سیستم کنترل وضعیت

$$\text{Sum} t_p = \sum_{i=1}^n t_p(i) \quad (17)$$

با توجه به روابط ذکر شده مشخص است که کاهش مصرف سوخت و حداقل خطای قابل دسترس در تضاد با هم هستند و برای رسیدن به چیدمان بهینه می‌بایست بین آن‌ها مصالحه برقرار شود.

با توجه به اینکه در نظر است تا میزان خطای بین گشتاور تولیدی تراسترهای گشتاور کنترلی مورد نیاز برای حفظ موقعیت ماهواره کاهش یابد،تابع شایستگی بر اساس اختلاف بین آن‌ها در راستای سه محور دستگاه مختصات در نظر گرفته شده است. از طرف دیگر مقدار نظر از تا مصرف سوخت کمینه شود، در نتیجه بخش دیگری از تابع شایستگی مربوط به مصرف سوخت می‌باشد که آن را متناسب با زمان روشن بودن تراسترهای در نظر گرفته شده است. مقدار خطای قابل دسترس تراسترهای نیز با توجه به مقادیر بدست آمده از بهینه‌سازی چند هدفی مقدار نسبتاً ثابت و کوچکی است. در نهایت رابطه (۱۸) به عنوان تابع شایستگی بکار گرفته شده است.

$$F_{\text{best}} = K_1 \text{error} + K_2 e_{\min} + K_3 \text{sum} t_p \quad (18)$$

K_1 , K_2 و K_3 ضرایب ثابتی هستند که برای نرمالیزه کردن توابع بکار می‌روند. برای بهینه‌سازی چند هدفی بایستی تابع در یک جهت باشند (مینیمم یا ماکزیمم). اولین اثر این کار این است که با جمع زدن توابع شایستگی با روش وزنده‌ی، بهینه‌سازی چند هدفی به بهینه‌سازی یک هدفی تبدیل شده است. با تغییر ضرایب وزنی می‌توان جبهه پرتو^۳ را معین کرد [۲۳]. با توجه به اینکه تابع هدف اول و سوم با تابع هزینه دوم در خلاف جهت هم کار می‌کنند، تابع شایستگی دوم با علامت منفی با تابع دیگر جمع شده است.

۶- نتایج

در این بخش با در نظر گرفتن شرایط یکسان برای الگوریتم

3. Pareto

مسئله فراهم می‌کنند. در حال حاضر، گوناگونی‌های زیادی از الگوریتم زنتیک گسترش یافته که برای طیف وسیعی از مسائل بهینه‌سازی اعمال می‌شود [۲۲، ۲۱]. اساس الگوریتم زنتیک شامل ملاحظات و مواردی همچون: رمزگذاری تابع یا توابع هدف، تعریف تابع شایستگی یا شرایط انتخاب، جمعیت افراد اولیه، ارزیابی نمودن شایستگی همه افراد در جمعیت، ایجاد جمعیت جدید از طریق عمل تقاطع، جهش، ترکیب مناسب شایستگی، افزایش تکرار جمعیت تا وقتی که به شرایط توقف تعیین شده برسد و رمزگشایی نمودن نتایج برای فراهم کردن حل مسئله است. این روش، یک نوع روش تکاملی زیستی می‌باشد. در این مقاله هدف رسیدن به چیدمان بهینه و مقایسه عملکرد دو الگوریتم تکاملی و دیفرانسیلی بوده است. تعداد جمعیت در هر نسل برای هر دو الگوریتم یکسان در نظر گرفته شده است.

۵- چیدمان بهینه تراسترهای

برای مانورهای مداری و تصحیح وضعیت ماهواره زمین ثابت در فضای در کل به شش تراستر نیاز است. البته در بعضی سیستم‌های پیشرفته ادعا شده است که به وسیله چهار تراستر که به صورت هدفمند و با چیدمان خاصی روی بدنه تراستر قرار گرفته باشند، نیز می‌توان این کار را انجام داد. اما با توجه به برخی ملاحظات تجربی و نیاز به عملگرها اضافی برای بالا بردن قابلیت اطمینان سیستم، به شش تراستر و یا بیشتر از آن برای تکمیل سیستم کنترل عکس‌العملی نیاز است [۱۸]. در ادامه با توجه به تعداد تراسترهای و ملاحظاتی برای بالا بردن قابلیت اطمینان سیستم کنترلی ماهواره چیدمان بهینه برای تعداد متفاوتی از تراسترهای ارائه شده است.

الگوریتم‌های بهینه‌سازی که برای حل مسئله در نظر گرفته شده، الگوریتم زنتیک^۱ و الگوریتم تکامل دیفرانسیلی^۲ است که در بخش قبل شرح داده شده‌اند. با توجه به معادلات بیان شده، تابع شایستگی برای ماهواره به صورت مجموع توابع زیر در نظر گرفته شده است.

۱. خطای بین گشتاور ایجاد شده از طریق تراسترهای و گشتاور کنترلی تعیین شده توسط کنترل

1. Genetic algorithm
2. Differential evolution algorithm

جدول ۴ قیود مرزی برای تراستر روی صفحات در راستای Z

-Z	+Z
$0 \leq \beta \leq \pi$	$\pi \leq \beta \leq 2\pi$

در ادامه قیود مرزی برای زاویه β در حالتی که از تأثیر صفحات خورشیدی صرف نظر شود، بیان شده است. بدیهی است که با توجه به این که صفحات خورشیدی روی کدام یک از بدندهای ماهواره نصب شود و همچنین با توجه به ملاحظات طراحی مرزها محدود تر خواهد شد.

ارامترهای در نظر گرفته شده برای تراستر در جدول ۵ ارائه شده است. پارامترهایی که در شبیه‌سازی سیستم بکار گرفته شده است، در جدول ۶ نمایش داده شده‌اند. در جدول ۷ ضرایب وزن دهی (با در نظر گرفتن علامت) ارائه شده است.

جدول ۵ مشخصات تراستر

نیروی پیشران (Ns/kg)	دبي خروجي نامی (N) (gr/s)	ضربه ویژه نامی نامی (N)
۲۸۴۵	۳/۵	۱۰

جدول ۶ پارامترهای شبیه‌سازی

تعداد نسل	زمان نمونه	بهره ثابت برداری (s)
۴۰۰	۰/۲	۶۰۰

جدول ۷ ضرایب وزنی تابع شایستگی

K3	K2	K1
۱۲	-۹۹	۱۰۰

در شکل ۳ زمان محاسبات برای الگوریتم تکامل دیفرانسیلی و الگوریتم ژنتیک ارائه شده است. در شکل نشان داده شده است که زمان محاسبات برای الگوریتم ژنتیک در مقایسه با الگوریتم تکامل دیفرانسیلی بیشتر است. در هر دو الگوریتم، با افزایش تعداد تراسترهای زمان محاسبات افزایش یافته است. در شکل ۴ مقدار تابع شایستگی برای چیدمان متقارن حاصل از ۴، ۶، ۸ و ۱۲ تراستر نمایش داده شده است. مشخص است که الگوریتم بهینه‌سازی تکامل دیفرانسیلی توانایی بیشتری برای کمینه کردن تابع شایستگی داشته است.

تکامل دیفرانسیلی و ژنتیک (تعداد نسل‌ها و تعداد جمعیت) شبیه‌سازی برای ماهواره زمین آهنگ انجام گرفته است. با توجه به الزامات کنترل وضعیت ماهواره و ماموریت آن تراستر انتخاب شده نیروی پیشران ۱۰ نیوتنی دارد و حداقل زمان روشن بودن آن ۳ میلی‌ثانیه است. هندسه و مشخصات جرمی و اینرسی ماهواره بصورت زیر است. ابعاد ماهواره یک مکعب مستطیلی $2 \times 2 \times 2$ متر می‌باشد که دارای جرمی حدودی ۹۰۰ کیلوگرم و ممان اینرسی حدودی زیر است:

$$I = \begin{bmatrix} 1218.6 & 0 & 0 \\ 0 & 442.2 & 0 \\ 0 & 0 & 1429.4 \end{bmatrix} \quad (19)$$

مرکز جرم ماهواره منطبق بر مبدأ مختصات در نظر گرفته شده است و رابطه (۲۰) محدودیت بردار r را نمایش می‌دهد.

$$-1 \leq r_x, r_y, r_z \leq 1 \quad (20)$$

با توجه به چیدمان متقارن تراسترهای وضعیت پنل‌های خورشیدی محدودیت زوایای α و β مشابه رابطه (۲۰) برای هر تراستر معین می‌شود. برای تعیین این محدوده، با توجه به محل نصب صفحات خورشیدی بر روی بدن ماهواره مرز بالا و مرز پایین مشخص می‌شود.

در حالت کلی که فرض شود صفحات خورشیدی محدودیتی ایجاد نمی‌کند. برای تراسترهای نصب شده در هر یک از صفحات بدن (در دستگاه بدن) قیود مرزی در جدول‌های ۱ تا جدول ۴ بیان شده است. با توجه به تعریف زوایای α و β قیود مرزی ارائه شده است. در شکل ۲ دستگاه بدن، ماهواره و زوایای α و β نمایش داده شده است.

جدول ۱ قیود مرزی برای تراستر روی صفحات در راستای X

-X	+X
$\frac{3\pi}{2} \leq \alpha \leq \frac{5\pi}{2}$	$\frac{\pi}{2} \leq \alpha \leq \frac{3\pi}{2}$

جدول ۲ قیود مرزی برای تراستر روی صفحات در راستای Y

-Y	+Y
$0 \leq \alpha \leq \pi$	$\pi \leq \alpha \leq 2\pi$

جدول ۳ قیود مرزی برای تراستر روی صفحات در راستای X

-X	+X
$\frac{3\pi}{2} \leq \beta \leq \frac{5\pi}{2}$	$\frac{\pi}{2} \leq \beta \leq \frac{3\pi}{2}$

$$A = \begin{bmatrix} 0.66 & 0 & -1 & -0.90 \\ 0 & 101 & 0.19 & -0.62 \\ -0.997 & 1.2 & 0.93 & -0.68 \end{bmatrix} \quad F_{best} = 4.5$$

ماتریس چیدمان بدست آمده و مقدار تابع هزینه برای چهار تراستر بصورت زیر است.

$$A = \begin{bmatrix} 0.351 & 0 & -0.99 & -0.77 \\ 0 & 0.72 & 0.02 & -0.66 \\ -0.998 & 0.71 & 0.93 & -0.56 \end{bmatrix} \quad F_{best} = 3.1$$

با توجه بردار مانور وضعیت، بردار گشتاور ماکزیمم در نظر گرفته شده و ماتریس چیدمان بدست آمده برای شش و هشت تراستر در الگوریتم تکامل دیفرانسیلی بصورت زیر می‌باشد.

$$A = \begin{bmatrix} -1.3 & -1.4 & -1.3 & 1.4 & 0.99 & 0.99 \\ 0.81 & -0.47 & -0.39 & 0.96 & 0 & 0 \\ -0.57 & -1.24 & 1.27 & -0.4 & 0.99 & 0.99 \end{bmatrix} \quad F_{best} = 3.4$$

برای هشت تراستر چیدمان بدست آمده بصورت زیر می‌باشد.

$$A = \begin{bmatrix} -1.3 & -1.3 & 1.4 & 1.41 & 1.4 \\ -1.06 & -0.89 & 0.69 & -0.13 & 0.69 \\ -1.38 & -0.4 & 0.82 & 0.03 & -0.27 \\ & & -1.3 & -1.26 & -1.18 \\ & & -0.77 & 0.27 & 0.56 \\ & & 0.89 & -1.11 & -0.58 \end{bmatrix} \quad F_{best} = 3.6$$

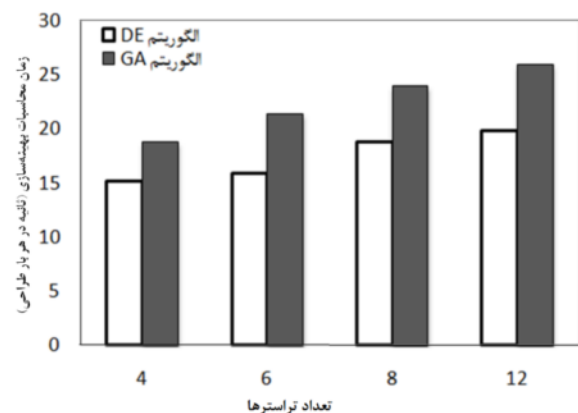
در جدول ۸ میزان خطای e_{min} در چهار چیدمان بدست آمده توسط الگوریتم تکامل دیفرانسیلی ارائه شده است. خطای برحسب رادیان است و مشاهده می‌شود که میزان خطای پس از بهینه‌سازی با توجه به الزامات و ماموریت ماهواره در حد قابل قبولی قرار دارد.

برای اعتبارسنجی چیدمان‌های بدست آمده، زمان روش بودن تراسترهای برای چیدمان بکار گرفته شده برای شش تراستر در مرجع [۶] را برای مانور وضعیت مشخص با زمان روش بودن شش تراستر در چیدمان بهینه بدست آمده، مقایسه شده است. ماتریس چیدمان بکار گرفته شده در مرجع [۶] بصورت زیر است.

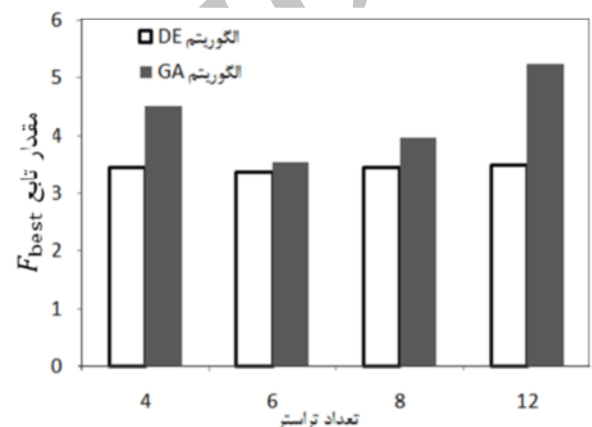
$$A = \begin{bmatrix} -1 & 1 & -1 & 1 & 0 & 0 \\ 0 & 0 & 0 & 0 & 1 & -1 \\ -1 & 1 & 1 & -1 & 0 & 0 \end{bmatrix}$$

جدول ۸ مقدار حداقل خطای قابل دسترس تراستر برای چیدمان بهینه

۱۲ تراستر	۸ تراستر	۶ تراستر	۴ تراستر
۰/۰۰۰۸۳	۰/۰۰۰۸۲	۰/۰۰۰۸۳	۰/۰۰۰۸۴



شکل ۳ زمان محاسبات بوسیله الگوریتم‌ها بر حسب تعداد تراستر



شکل ۴ مقدار تابع شایستگی بر حسب تعداد تراستر

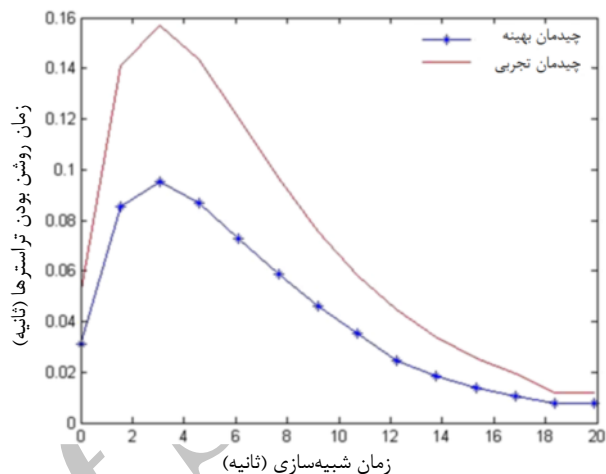
همان طور که در شکل ۴ مشخص است، کمترین مقدار تابع شایستگی برای هر دو الگوریتم در حالتی می‌باشد که ۶ تراستر وجود داشته باشد. با توجه به چیدمان متقاضی تراسترهای و شکل مکعبی ماهواره داشتن شش تراستر کنترل وضعیت بهتری را در راستای محورهای مختصات امکان‌پذیر می‌سازد، در عین حال برای کاهش آلودگی ناشی از گازهای خارج شده از تراستر، استفاده از تراستر در برخی صفحات با توجه به محل نصب آرایه‌های خورشیدی مناسب نیست. لذا با توجه به محدودیت چیدمان بهینه و تعداد تراسترهای انتخاب می‌شود. نتایج بدست آمده از الگوریتم زنتیک و تکامل دیفرانسیلی برای چیدمان چهار تراستر روی بدنه ماهواره ارائه شده و مشاهده می‌شود که نتایج باهم هم خوانی دارند و الگوریتم تکامل دیفرانسیلی توانایی بیشتری در کمینه کردن مقدار تابع هزینه دارد.

این نکته است که الگوریتم تکامل دیفرانسیلی در قیاس با الگوریتم زنتیک از عملکرد محاسباتی بهتری برخوردار است. چیدمان بدست آمده از هر دو روش تا حد امکان تابع شایستگی را که بر اساس کمینه‌سازی همزمان مصرف سوت، خطای ناشی از عملکرد غیرخطی تراستر برای دستیابی به مقدار گشتاور مورد نیاز مانور کنترلی است، کاهش داده و در هر دو الگوریتم مقدار تابع شایستگی با روند یکسانی به مقدار بهینه میل می‌کند. در راستای تکمیل این طرح و در راستای کنترل وضعیت بهتر در ماهواره می‌توان از الگوریتم‌های مدیریت کنترل به منظور مدیریت بهینه فعالیت تراسترهای استفاده نمود. همچنین پیشنهاد می‌شود برای مدل‌سازی دقیق عملکرد تراستر از روش‌های توصیف تابع استفاده شود تا عملکرد غیرخطی تراستر و تأثیرات آن بر چیدمان بهینه مشخص شود. از سوی دیگر آنالیز حساسیت چیدمان تراسترهای نسبت به گشتاور کنترلی در مود نرمال، در ادامه این تحقیق کمک شایانی به کاربردی‌تر شدن نتایج می‌کند. مسئله دیگر بررسی تداخل عملکرد تراسترهای روی یکدیگر و خارج از محور بودن آن‌ها است که با استفاده از مقدار دقیق تر مورد موشکافی قرار گیرد.

۸- مراجع

- [1] Bergmann E.V., Croopnick S. R., Turkovich J. J., and Work C. C., (1979) "An Advanced Spacecraft Autopilot Concept", Journal of Guidance and Control, Vol. 2, No. 3, p. 161.
- [2] Wang M., and Xie Y. C., (2009) "Design of optimal thruster combination table for the real time control allocation of spacecraft thrusters", Proceedings of the 48th IEEE Conference on Decision and Control, pp. 5063-5068.
- [3] Jin J., Park B., Park Y., and Tahk M., (2006) "Attitude control of a satellite with redundant thrusters", Aerospace Science and Technology, Vol. 10, No.7, pp. 644-651.
- [4] Ankersen F., (2004) "Optimization of spacecraft thruster management function", AIAA Guidance, Navigation, and Control Conference, Vol. 28, No. 8, pp. 1283-1290.
- [5] Crawford B. S., (1969) "Configuration design and efficient operation of redundant multi-jet systems", Proceedings of AIAA Guidance Control and Flight Mechanics Conference; also AIAA, pp. 69-845, Aug. 1969.
- [6] Ricardo S. S. P., Roberto A., Pablo A.A.,(2000) "Robust optimal solution to the attitude/force

با توجه به این که زمان روشن بودن تراسترهای رابطه مستقیم با مصرف سوت دارد، شکل ۵ نشان می‌دهد که مصرف سوت برای چیدمان بهینه کمتر از چیدمانی است که بصورت تجربی در نظر گرفته شده است.



شکل ۵ زمان روشن بودن تراسترهای در دو چیدمان برای مانور وضعیت مشخص

محدودیتی که در تعیین چیدمان تراسترهای وجود دارد این است که چیدمان‌های بدست آمده از روش‌های بهینه‌سازی بایستی بر اساس مانورهای کنترل وضعیت ماهواره تعیین شود و پس از نصب تراسترهای چیدمان هندسی ثابت شده و قابل تغییر نیست. در نتیجه در نظر گرفتن روش مناسبی برای مدیریت تراسترهای در مود نامی برای ماهواره زمین آهنگ اهمیت دارد.

۷- نتیجه‌گیری

در این مقاله با استفاده از راهکاری مبتنی بر الگوریتم زنتیک و الگوریتم تکامل دیفرانسیلی چیدمان بهینه تراسترهای در یک ماهواره زمین آهنگ طرح‌بیزی و مشخص شده است. معمولاً چیدمان تراسترهای شامل اطلاعاتی در مورد محل قرارگیری تراسترهای روی بدنه ماهواره، زاویه تراسترهای نسبت به بدنه است. یکی از فاکتورهایی که نقش کلیدی در چیدمان تراسترهای دارد، تحلیل گشتاور و نیروهای وارد بر ماهواره است. چیدمان تراسترهای باید به نحوی باشد که نیرو و گشتاور مورد نیاز برای هر مانور را تأمین کند. نتایج بدست آمده در این مسئله مؤید

- [15] Durham W. C.,(1993) "Constrained Control Allocation", *Journal of Guidance, Control and Dynamics*, Vol.16, No. 4 , pp.717-725
- [16] Petersen J. A. M., and Bodson M.,(2006) "Constrained Quadratic Programming Techniques for Control Allocation", *IEEE Transactions on Control System Technology*, Vol.14, No.1, pp. 91–98.
- [17] Johansen T. A., Fossen T. I., and Svein P. B., (2004) "Constrained Nonlinear Allocation with Singularity Avoidance Using Sequential Quadratic Programming", *IEEE Transactions on Control Systems Technology*, vol.12, No.1, pp. 211-215.
- [18] Sidi M., 1997. "Spacecraft Dynamics and Control", Cambridge University Press.
- [19] Ismail Z., and Varatharajoo R., (2010)"A study of reaction wheel configuration for a 3-axis satellite attitude control", *Advanced in Space Research*, Vol. 45, No. 6, pp. 750-759.
- [20] Price K. V., Storn R. V., and Lampinen J. A.,(2005) "Differential Evolution: A Practical Approach to Global Optimization", New York: Springer.
- [21] Rani D., Jain S.K., Srivastavaand D.K., and Perumal M.,(2011) "Genetic Algorithms and Their Applications to Water Resources Systems", Elsevier, pp. 43-77.
- [22] Leite J. V., Avila S. L., Batistela NO. J., Carpes W. P., Sadowski NO., Kuo-Peng P., and Bastos J. P. A.,(2004) "Real coded genetic algorithm for Jiles–Atherton model parameters identification," *IEEE Transactions on Magnetics*, Vol. 40, No. 2, pp. 888–891.
- [23] Fonseca C. M. and Fleming P. J., "Genetic algorithms for multiobjective optimization: formulation, discussion and generalization", *Proc. of the 5th International Conference on Genetic Algorithms*, 1993, pp. 416-423.
- [24] control problem", *IEEE Trans Aero Electr Syst*, 36, pp. 784-791.
- [7] Chin C. S., Lau M. W. S., Low E., and Seet G. G., (2006) "Design of Thrusters Configuration and Thrust Allocation Control for a Remotely Operated Vehicle", *IEEE International Conferences on Robotics, Automation and Mechatronic (RAM)*, Thailand.
- [8] Blindheim F. R., Kristiansen R., Nicklasson P. J., and Antonsen J., "A Study of Actuator Configurations for the ESEO Satellite", *Proc. of the 56th International Astronautical Congress (IAC)*, 2005.
- [9] Yoshimura Y., Matsuno T., and Hokamoto S., (2011) "Position and attitude control of an under actuated satellite with constant thrust", *AIAA Guidance, Navigation and Control Conference*, pp. 6352.
- [10] Wang M., and Xie Y. C., (2010) "Control capability analysis for complex spacecraft thruster configurations", *Science China Technological Sciences*, Vol. 53, No. 8, pp. 2089-2096.
- [11] Kishore W. C., Dasgupta S., Ray G., and Sen S., (2013) "Control allocation for an over-actuated Satellite Launch Vehicle", *Aerospace Science and Technology*. Vol.28, No. 1, pp. 56-71.
- [12] Bodson M.,(2002) "Evaluation of Optimization Methods for Control Allocation", *Journal of Guidance, Control and Dynamics*, Vol. 25, No. 4, pp. 703-711.
- [13] Enns D .,(1998)"Control allocation approaches", *Proc. of the AIAA Guidance, Navigation, and Control Conference and Exhibit*, Reston, MA: AIAA, pp. 98–108.
- [14] Jin J., (2005) "Modified Pseudoinverse Redistribution Methods for Redundant Controls Allocation", *Journal of Guidance, Control and Dynamics*, Vol.28, No. 5, pp. 1076-1079.